

МНОГОКОМПОНЕНТНАЯ СТРУКТУРА ДВУХИМПУЛЬСНОГО ЭХА В СПИНОВЫХ СИСТЕМАХ

B. C. Кузьмин, A. P. Сайко, Г. Г. Федорук

Обычно сигнал двухимпульсного спинового эха представляет собой одиночный импульс. Однако при изучении ЯМР в магнитоупорядоченных веществах было обнаружено [1, 2], что при возбуждении двумя импульсами равной длительности сигнал эха содержит до пяти компонент, отделенных друг от друга интервалами, близкими к длительности импульсов, а при неодинаковой длительности импульсов их число возрастает [3]. Данный эффект связывается с особенностями внутреннего строения ферромагнетиков, приводящими к неоднородному распределению частоты Раби ω_1 [2], или же с искажениями возбуждающих импульсов вблизи фронтов [4]. Объясняя отдельные черты наблюдавшихся сигналов, каждая из этих принципиально различающихся гипотез не охватывает явление в целом и не описывает всей совокупности экспериментальных данных [1, 2].

В настоящей работе теоретически показано, что многокомпонентная структура двухимпульсного эха [1-3] обусловлена нерезонансным возбуждением спиновой системы. Одноимпульсное эхо, вызванное указанной причиной, изучено экспериментально в [5, 6] и численно проанализировано в [7].

Будем исходить из следующего выражения для отклика спиновой системы на воздействие двух прямоугольных импульсов равной длительности t_p [8]:

$$v(t) = -\frac{\omega_1^3}{\beta^4} \int_{-\infty}^{\infty} d\Delta g(\Delta) \sin^2 \frac{\beta t_p}{2} \times \\ \times \left\{ 2(\Delta + \delta) \sin^2 \frac{\beta t_p}{2} \sin(\Delta + \delta) t' + \beta \sin \beta t_p \cos(\Delta + \delta) t' \right\}, \quad (1)$$

где $v(t)$ — нормированная поперечная намагниченность; Δ — разброс частот спиновых пакетов с функцией распределения $g(\Delta)$; $\beta = [(\Delta + \delta)^2 + \omega_1^2]^{1/2}$; δ — отстройка частоты возбуждающих импульсов от центра неоднородно-широкой линии; $t' = t - 2\pi - 2t_p$. Оказывается, что поведение интеграла (1) в интервале времени $-2t_p < t' < 2t_p$ достаточно хорошо описывается главными членами (пропорциональными $(\omega_1 t_p)^{-1/2}$) его асимптотического разложения при $\omega_1 t_p \gg 1$. Действительно, оценка (1) с помощью метода стационарной фазы дает

$$v(t) = I_0 + \sum_{n; s} I_n^{(s)} (n = 1, 2; s = +, -), \quad (2)$$

где

$$I_0 = -\frac{3}{4} \omega_1^3 \int_{-\infty}^{\infty} d\Delta g(\Delta - \delta) \Delta \sin(\Delta t') (\omega_1^2 + \Delta^2)^{-2}, \\ I_n^{(s)}(t') = (-1)^n \frac{(2\pi\omega_1)^{1/2}}{8n^4} \frac{2t'/n + nt_p}{t_p^3} (n^2 t_p^2 - t'^2)^{1/4} \times \\ \times g(\omega_1 t^* - s\delta) \sin \left[\omega_1 (n^2 t_p^2 - t'^2)^{1/2} + \frac{\pi}{4} \right], \\ t^* = t' / (n^2 t_p^2 - t'^2)^{1/2}. \quad (3)$$

Интеграл I_0 для лоренцевой линии легко вычисляется по теории вычетов и описывает обычный сигнал эха в момент времени $t' = 0$ (централь-

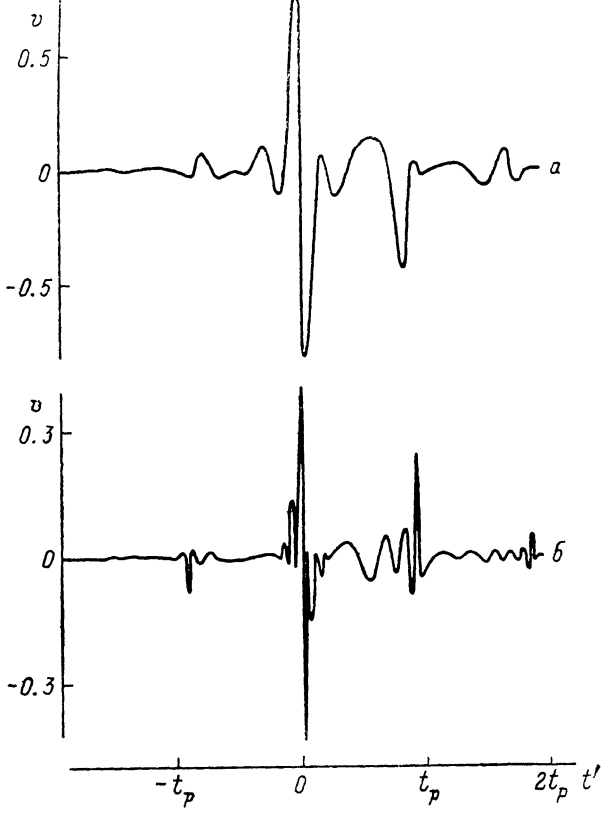
ный пик), а $I_n^{(s)}$ описывают четыре симметрично расположенных относительно центрального пика сателлитных отклика (n отсчитывается от центрального пика вправо при $s=+$ и влево при $s=-$). Время их появления определяется из условия резонанса мгновенной частоты рабиевских осцилляций

$$\Omega = \left| \frac{d}{dt} [\omega_1 (n^2 t_p^2 - t'^2)^{1/2}] \right| = \omega_1 t' / (n^2 t_p^2 - t'^2)^{1/2}$$

и частоты отстройки δ , откуда находим, что $\Omega = s\delta$ в моменты времени

$$t'_{n(s)} = s n \delta t_p / (\omega_1^2 + \delta^2)^{1/2}. \quad (4)$$

В указанные моменты времени сумма в (2) принимает максимальные значения, пропорциональные ω_1^2 , в то время как $I_0 \sim \omega_1^3$. Из (2) можно полу-



Сигналы эха при нерезонансном возбуждении двумя одинаковыми импульсами.

$\sigma/\omega_1 = 0.5$. δ/ω_1 , $\omega_1 t_p$: а — 1.8, 4π ; б — 3, 10π .

чить следующее отношение для амплитуд попарно симметричных сателлитов:

$$\frac{I_n^{(+)}(t'_{n(+)})}{I_n^{(-)}(t'_{n(-)})} = \frac{(\omega_1^2 + \delta^2)^{1/2} + 2\delta/n}{|(\omega_1^2 + \delta^2)^{1/2} - 2\delta/n|}. \quad (5)$$

Как видно из (2)—(4), интервал между компонентами пропорционален t_p , увеличивается с ростом δ/ω_1 и в пределе стремится к t_p . При $\delta/\omega_1 \ll 1$ многокомпонентная структура вырождается в отклик осцилляционного вида, если $\omega_1 t_p \geq 2\pi$ [8]. При уменьшении σ/ω_1 сигналы становятся более узкими и интенсивными.

Проведенный теоретический анализ позволяет объяснить всю совокупность наблюдавшихся в [1, 2] фактов: число компонент эхо-отклика и их

амплитуды (см. рисунок и формулу (5)), линейную зависимость времени появления сателлитов и уменьшение их амплитуды при возрастании t_p (формула (4)), трансформацию мультиплетной структуры при изменении t_p , δ , σ и ω_1 . При этом эффект расщепления эхо-сигнала на компоненты всецело обусловлен нерезонансным воздействием возбуждающих импульсов на спиновую систему.

Наконец, отметим, что формулы (2)–(3) легко обобщаются на случай неравных длительностей импульсов, приводящий к увеличению числа компонент до девяти [3].

Список литературы

- [1] Kinnear R. W. N., Campbell S. J., Chaplin D. H. // Phys. Lett. A. 1980. V. 76. N 3–4. P. 311–314.
- [2] Fowler D. K., Creagh D. C., Kinnear R. W. N., Wilson G. V. H. // Phys. St. Sol. A. 1985. V. 92. N 2. P. 545–553.
- [3] Рейнгардт А. Е., Цифринович В. И., Новоселов О. В., Мальцев В. К. // ФТТ. 1983. Т. 25. № 10. С. 3163–3164.
- [4] Цифринович В. И., Мушаилов Э. С., Бакшев и др. // ЖЭТФ. 1985. Т. 88. № 4. С. 1481–1489.
- [5] Чекмарев В. П., Куркин М. И., Голощапов С. И. // ЖЭТФ. 1979. Т. 76. № 5. С. 1675–1684.
- [6] Рутковский И. З., Тарасевич А. Д., Федорук Г. Г. // ФТТ. 1989. Т. 31. № 4. С. 287–288.
- [7] Чекмарев В. П., Малышев В. Г. // ФТТ. 1988. Т. 30, № 5. С. 1570–1572.
- [8] Kunitomo M., Kaburagi M. // Phys. Rev. A. 1984. V. 29. N 1. P. 207–216.

Институт физики твердого тела
и полупроводников АН БССР
НИИ прикладных физических проблем
им. А. Н. Севченко
Минск

Поступило в Редакцию
16 июня 1989 г.

УДК 539.33/34

© Физика твердого тела, том 32, № 2, 1990
Solid State Physics, vol. 32, N 2, 1990

ЭЛЕКТРОННОЕ СТРОЕНИЕ ГАЛЛИЕВЫХ ГРАНАТОВ $R_3Ga_5O_{12}$ ($R = Nd, Sm, Gd$)

Я. И. Дутчак, И. Д. Щерба, А. С. Шулаков, М. С. Ридош,
А. П. Степанов, А. Е. Носенко

До настоящего времени галлиевые гранаты изучались в основном методами оптической спектроскопии [1, 2], поэтому многие вопросы структуры валентной зоны этого класса соединений остаются невыясненными. Рентгеновская спектроскопия дает непосредственную информацию о распределении электронных соединений по энергии, а также позволяет оценить вклад каждого компонента в формирование электронной структуры соединений. Эти особенности метода использованы для изучения электронной структуры галлиевых гранатов.

Монокристаллы галлиевых гранатов выращивались методом Чохральского с индукционным нагревом. Исследуемые оксидные соединения относятся к структурному типу граната, характеризующегося пространственной группой $1a3d-O_h^{10}$ [3].

K -спектры галлия были получены на рентгеновском спектрографе ДРС-2М с использованием трубки БХВ-7. Методика получения L -спектров галлия аналогична описанной в [4]. Фотоэлектронные спектры (ФЭС) валентной зоны монокристаллов получены на электронном спектрометре, конструкция которого описана в [5]. Условия получения $4d$ -спектров эмиссии редкоземельного элемента R ($R = Nd, Sm, Gd$) и K -полос кислорода приведены в [6, 7].